



ارزیابی نشانگرهای مبتنی بر رتروترنسپوزون‌ها در شناسایی مکان‌های مرتبط با صفات مهم زراعی و مقاومت به بیماری پوسیدگی اسکلروتینیایی یقه ساقه در آفتابگردان روغنی (*Helianthus annuus L.*) تحت شرایط مزرعه‌ای

رشید پاک نیا^۱- فرج‌الله شهریاری^{۲*}- رضا درویش زاده^۳- سعید ملک زاده^۴

تاریخ دریافت: ۱۳۹۵/۰۶/۱۳

تاریخ پذیرش: ۱۳۹۵/۱۲/۱۱

چکیده

آفتابگردان (*Helianthus annuus L.*) یکی از گیاهان دانه روغنی است. پوسیدگی طوفه یکی از مهمترین بیماری‌های آفتابگردان در دنیا می‌باشد که در شرایط محیطی مناسب باعث از بین رفتن کل محصول می‌شود. در این مطالعه به منظور تجزیه ارتباطی صفات مهم زراعی و مقاومت به قارچ اسکلروتینیا (*Sclerotinia sclerotiorum*) تعداد ۱۰۰ لاین خالص آفتابگردان روغنی در مزرعه‌ای در روستای واقاصلوی سفلی از توابع شهرستان ارومیه در قالب طرح لاتیس ساده 10×10 در ۲ تکرار کشت شدند. پنج بوته از هر ژنتیپ در هر تکرار با جایه قارچی جمع‌آوری شده از گیاهان آفتابگردان آلدود همان مزرعه در سال قبل تلقیح شدند. صفات درصد پیشرفت آلدودگی قارچی بعد از ۸، ۱۲ و ۱۶ روز، وزن صد دانه گیاه آلدوده نشده، وزن صد دانه گیاه آلدود شده، افت و وزن صد دانه و افت عملکرد ارزیابی شدند. از طرفی بروفیل مولکولی جمعیت با ۲۸ آغازگر مبتنی بر رتروترنسپوزون (7 جفت آغازگر IRAP و 7 جفت آغازگر REMAP) تهیه شد. تجزیه ساختار ژنتیکی جمعیت به عنوان پیش نیاز تجزیه ارتباط با روش بیزین منجر به شناسایی ۲ زیر جمعیت شد. در تجزیه ارتباط بر اساس مدل خطی مخلوط (MLM)، ۲۷ نشانگر رتروترنسپوزونی مرتبط با صفات مورد مطالعه شناسایی شدند. بیشترین تعداد نشانگر برای صفات درصد پیشرفت آلدودگی بعد از ۴ روز و عملکرد تک بوته گیاه آلدود شده شناسایی شد. در این مطالعه چندین مکان مشترک برای صفات مورد مطالعه شناسایی شد. وجود نشانگرهای مشترک در میان برخی صفات بررسی شده می‌تواند ناشی از اثرات پلیوتربوپی و یا پیوستگی نواحی ژئومی دخیل در کنترل این صفات باشد. نتایج به دست آمده از این مطالعه اطلاعات ارزشمندی در زمینه مبنای ژنتیکی صفات مورد مطالعه ارائه می‌دهد که از این اطلاعات می‌توان در برنامه‌های مختلف و از جمله انتخاب به کمک نشانگر (MAS) در آفتابگردان استفاده نمود. می‌توان با توالی‌یابی مکان‌هایی که تغییرات قابل توجهی از صفات را توجیه می‌نمایند، ژن‌های کدکننده مقاومت به بیماری و صفات مهم زراعی را شناسایی نمود.

واژه‌های کلیدی: آفتابگردان، ساختار جمعیت، عدم تعادل لینکاژی، نشانگرهای مولکولی، نقشه‌یابی ارتباطی

جمله چهار محصول مهم دانه روغنی است که برای استحصال روغن خوارکی کشت می‌شود. روغن آفتابگردان به دلیل داشتن مقدار زیادی اسید چرب لینولئیک و فقدان کلسترول از مرغوبیت بالایی برخوردار است (Onemli and Gucer, 2010). در سال‌های اخیر روغن آفتابگردان به طور فزاینده برای اهداف صنعتی نیز استفاده می‌شود. سطح زیر کشت گیاه در دنیا ۲۵ میلیون هکتار و تولید سالیانه در حدود ۳۶ میلیون تن است (FAO). بیماری‌ها عامل اصلی محدودیت تولید آفتابگردان در دنیا می‌باشند و این گیاه میزان بیش از ۴۰ بیمارگر می‌باشد (Gulya *et al.*, 1997). عمدۀ بیماری قارچی که به طور قابل توجهی باروری آفتابگردان را در شرایط محیطی مناسب کاهش

مقدمه

آفتابگردان (*Helianthus annuus L.*) با $2n=34$ متعلق به خانواده Asteraceae می‌باشد و همراه با سویا، کلزا و بادام زمینی از

- ۱- دانش آموخته دکتری تخصصی بیوتکنولوژی کشاورزی، گروه بیوتکنولوژی گیاهی، دانشکده کشاورزی، دانشگاه فردوسی مشهد
- ۲- استاد، گروه بیوتکنولوژی گیاهی، دانشکده کشاورزی، دانشگاه فردوسی مشهد
- ۳- استاد، گروه اصلاح و بیوتکنولوژی گیاهی، دانشکده کشاورزی، دانشگاه ارومیه
- ۴- دانشیار، گروه بیوتکنولوژی گیاهی، دانشکده کشاورزی، دانشگاه فردوسی مشهد
- (*- نویسنده مسئول: Email: shahriari@um.ac.ir)

DOI: 10.22067/gsc.v16i1.58597

ارتباط غیر تصادفی بین دو نشانگر یا دو ژن و یا یک نشانگر و یک ژن است. در جمعیت‌های طبیعی عدم تعادل می‌تواند توسط عوامل دیگری غیر از پیوستگی ژنی مانند چهش، مهاجرت، گزینش و رانده شدگی ژنتیکی طی دوره تکاملی یک جمعیت به وجود آید. ولی در جمعیت‌های مصنوعی تنها عامل ایجاد کننده عدم تعادل، پیوستگی ژنی می‌باشد. موفقیت در تجزیه ارتباطی بستگی به ساختار عدم تعادل پیوستگی در ژنوم دارد (Flint-Garcia *et al.*, 2003). در آراییدوپسیس با استفاده از تجزیه ارتباطی چهار مکان دخیل در پاسخ به ورنالیزاسیون (FRI)، و سه مکان دخیل در مقاومت به بیماری (RPMI, RPS5, RPS2) (Aranzana *et al.*, 2005) در مقایسه با شناسایی شده است (Campbell *et al.*, 2002). در مقایسه با نقشه‌یابی پیوستگی، تجزیه ارتباطی بهتر است زیرا منابع ژرمپلاسم موجود مانند لکلکسیون‌های ژنتیکی و اصلاحی می‌توانند به طور مستقیم مورد استفاده قرار بگیرند (Myles *et al.*, 2009; Speed *et al.*, 2012; Wang *et al.*, 2005 *al.*, 2012; Zhu, 2002a; Rafalski, 2002b; Rafalski, 2002a; (et al., 2008).

در آفتابگردان به عنوان یک گیاه دانه روغنی مهم و اقتصادی، پژوهش‌های زیادی در زمینه بررسی تنوع ژنتیکی و شناسایی نواحی ژنومی دخیل در صفات مهم با استفاده از نشانگرهای مولکولی صورت گرفته است (Anandhan *et al.*, 2010; Darvishzadeh, 2012; Ebrahimi and Sarrafi, 2012; Mandel *et al.*, 2013) که می‌توان به مکان‌یابی عوامل دخیل در کنترل صفات مهم زراعی (Abdi, 2014) و مکان‌یابی QTL‌های اشاره نمود. اخیراً در مطالعه‌ای با روش تجزیه ارتباطی یک ژن کاندید شناسایی شده است که ۲۰٪ از تغییرات فنوتیپی مقاومت به بیماری پوسیدگی اسکلروتینیایی در آفتابگردان را توجیه می‌کند (Fusari *et al.*, 2012). هدف از این مطالعه، شناسایی نشانگرهای مبتنی بر رتروترنسپوزون (IRAP) و REMAP (پیوسته با پوسیدگی اسکلروتینیایی در آفتابگردان روغنی) می‌باشد.

مواد و روش‌ها

مواد گیاهی و ارزیابی فنوتیپی

یکصد لاین خالص آفتابگردان روغنی که از نقاط مختلف جهان (فرانسه، آمریکا، مجارستان و ایران) تهیه شده است (جدول ۱) در قالب یک طرح لاتیس ساده 10×10 در مزرعه آلووده به قارچ اسکلروتینیایی در روستای وفاصلوی سفلی از توابع شهرستان ارومیه با دو تکرار کشت شد. هر تکرار شامل ۱۰ بلوک (ناقص) و هر بلوک شامل

می‌دهد، پوسیدگی اسکلروتینیایی است که اولین بار در سال ۱۸۷۳ معرفی شد (Purdy, 1979). قارچ عامل بیماری در تمام مناطق رشد آفتابگردان متداول و گزارش شده است. عامل بیماری متعلق به رده آسکومیست^۱ بوده و توسط میسیلیا و اسکلروتیا در مرحله غیر جنسی تکثیر می‌شود (Masirevic and Gulya, 1992). گزارش شده است که این قارچ سالیانه منجر به خسارتی در حدود ۲۰۰ میلیون دلار در مزارع کشت آفتابگردان کشور آمریکا می‌شود (Bolton *et al.*, 2006).

یکی از راهکارهای تضمین پایداری غذا برای جمعیت رو به افزایش جهان، کاهش خسارت ناشی از بیمارگرها می‌باشد (Campbell *et al.*, 2002) به تزیادی آفتابگردان ایجاد مقاومت در برابر این بیماری می‌باشد. استفاده از ژنوتیپ‌های مقاوم بدون تردید یکی از اقتصادی‌ترین روش‌های کنترل بیماری به شمار می‌رود با این حال تاکنون ژنوتیپ کاملاً مقاوم در برابر بیماری پوسیدگی اسکلروتینیایی در آفتابگردان شناسایی نشده است هرچند که بعضی از ژنوتیپ‌ها مقاومت بیشتری در مقایسه با ژنوتیپ‌های دیگر نشان داده‌اند (Carson, 1991). مقاومت عمودی تا به حال در مقابل قارچ اسکلروتینیا در آفتابگردان زراعی شناسایی نشده است ولی تحقیقات نشان داده است که مقاومت به صورت افقی یا پلی‌ژنیک می‌باشد (Hahn, 2002; Ronicke *et al.*, 2005). در طی ۲۰ سال گذشته تلاش اصلی در تغییر روند روش‌های مبتنی بر گزینش فنوتیپی به سوی گزینش ژنوتیپی از طریق شناسایی جایگاه‌های صفات کمی در آفتابگردان بوده است. پیدایش تکنولوژی نشانگرهای DNA نقشه‌یابی مکان‌های ژنومی دخیل در مقاومت به بیماری‌ها را تسهیل کرده است. نشانگرهای مولکولی به علت خشی بودن و نداشتن آثار مستقیم بر صفت و نیز به دلیل عدم تأثیرپذیری از عوامل محیطی، ابزار مناسبی برای مکان‌یابی ژن‌های مختلف و گزینش غیرمستقیم برای صفت هدف می‌باشد (Andaya *et al.*, 1996). تجزیه پیوستگی^۲ و تجزیه ارتباطی^۳ روش‌هایی هستند که برای مکان‌یابی جایگاه‌های کنترل کننده صفات کمی به کار می‌روند. در تجزیه ارتباطی با اتکا بر عدم تعادل پیوستگی، روابط واریانس فنوتیپی و چند شکلی ژنتیکی ژرمپلاسم بدون توسعه نقشه‌یابی صفات در گونه‌های مختلف گیاهی به طور موفقیت‌آمیز در نقشه‌یابی صفات در گونه‌های مختلط گیاهی استفاده شده است (Bresegello and Sorrells, 2006). اولین مطالعه تجزیه ارتباطی در خصوص شناسایی نشانگرهای پیوسته با مناطق ژنومی درگیر در زمان گلدهی و ژن dwarf8 در ذرت بوده است (Thornsberry *et al.*, 2001).

1- Ascomycetes

2- Linkage analysis

3- Association analysis

۵ بوته از هر ژنوتیپ در هر تکرار با جدایه قارچی جمع‌آوری شده از گیاهان آفتابگردان آلوده همان مزرعه در سال قبل تلقیح شدند و پیشرفت سرعت آلودگی بعد از ۴، ۸ و ۱۲ روز یادداشت‌برداری شد. همچینین بعد از برداشت طبق‌ها در مرحله رسیدگی فیزیولوژیک، وزن ۱۰۰ دانه در گیاهان آلوده شده، وزن ۱۰۰ دانه در گیاهان آلوده نشده، عملکرد تک گیاه در گیاهان آلوده نشده، افت وزن ۱۰۰ دانه و افت عملکرد تک گیاه اندازه‌گیری و محاسبه شد.

۱۰ کرت زراعی بود. در هر کرت ۲ ردیف به طول ۵ متر با فاصله بین ردیف ۶۵ سانتی‌متر و فاصله بین بوته ۲۵ سانتی‌متر در نظر گرفته شد. چهار روز قبل از کشت مزرعه آبیاری شد. پس از سبز شدن گیاهچه‌ها در مرحله ۴ برگی تنک کردن به منظور نگه داشتن یک بوته در هر کپه انجام گرفت. مبارزه با علف‌های هرز به صورت مکانیکی و بنابه نیاز انجام گرفت. بعد از رسیدن گیاهان به مرحله ۸ برگی کود اوره به مقدار ۱۰۰ کیلوگرم در هکتار به صورت سرک بین ردیف‌ها پخش شد و بلافاصله آبیاری انجام گرفت. در حین گلدهی، طبق‌ها جهت جلوگیری از خسارت پرندگان با پاکت‌های سفید رنگ پوشانده شدند.

جدول ۱- نام و منشاء لاین‌های آفتابگردان روغنی مورد مطالعه

Table 1- Name and origin of the studied oily sunflower lines

مرکز تحقیقاتی Research center	کشور Country	لاین Line	ردیف Row	مرکز تحقیقاتی Research center	کشور Country	لاین Line	ردیف Row
ASGROW	فرانسه	H100A/LC1064	51	IFVC	صریستان	803-1	1
ASGROW	فرانسه	H100A/90R78	52	USDA	آمریکا	HAR4	2
ASGROW	فرانسه	AS613	53	USDA	آمریکا	SDB1	3
ASGROW	فرانسه	H100A	54	USDA	آمریکا	SDR18	4
ASGROW	فرانسه	H209A/H566R	55	USDA	آمریکا	RHA274	5
ASGROW	فرانسه	H100A/83HR4	56	USDA	آمریکا	SDB3	6
ENSAT	فرانسه	H205A/H543R	57	USDA	آمریکا	HA335B	7
ENSAT	فرانسه	H209A/LC1064	58	USDA	آمریکا	PM1-3	8
ENSAT	فرانسه	AS5304	59	USDA	آمریکا	SDR19	9
ENSAT	فرانسه	LP-CSYB	60	USDA	آمریکا	HA337B	10
ENSAT	فرانسه	ENSAT-283	61	USDA	آمریکا	HA304	11
ENSAT	فرانسه	AS3211	62	USDA	آمریکا	RHA858	12
ENSAT	فرانسه	AS5306	63	USDA	آمریکا	RHA266	13
ENSAT	فرانسه	ENSAT-254	64	SPII	ایران	344	14
ENSAT	فرانسه	ENSAT-270	65	SPII	ایران	11*12	15
ENSAT	فرانسه	1009329 2 (100K)	66	SPII	ایران	26	16
ENSAT	فرانسه	1009337 (100K)	67	SPII	ایران	38	17
ENSAT	فرانسه	100935 0(100K)	68	SPII	ایران	346	18
ENSAT	فرانسه	ENSAT-699	69	SPII	ایران	260	19
ENSAT	فرانسه	AS3232	70	SPII	ایران	262	20
ENSAT	فرانسه	PAC2	71	SPII	ایران	1059	21
ENSAT	فرانسه	1009370-1 (100K)	72	SPII	ایران	36	22
ENSAT	فرانسه	1009370 3(100K)	73	SPII	ایران	30	23
ENSAT	فرانسه	ENSAT-695	74	SPII	ایران	28	24
ENSAT	فرانسه	AS6305	75	BRN	فرانسه	5DES20QR	25
ENSAT	فرانسه	AS0-1-POP-A	76	C.F	فرانسه	7CR16 D PRH6	26
ENSAT	فرانسه	CAY	77	ASGROW	فرانسه	110	27
ENSAT	فرانسه	703-CHLORINA	78	ASGROW	فرانسه	LC1064C	28
NOVARTIS	فرانسه	NS-R5	79	ASGROW	فرانسه	H158A*LC1064C	29
NOVARTIS	فرانسه	NS-B5	80	ASGROW	فرانسه	AS305	30
NOVARTIS	فرانسه	NSF1A4*R5	81	USDA	آمریکا	RHA265	31

NOVARTIS	فرانسه	NSF1A5*R5	82	ASGROW	فرانسه	H100B	32
NOVARTIS	فرانسه	AF1 POPA	83	ASGROW	فرانسه	SSD580	33
NOVARTIS	فرانسه	BF1 POPB	84	ASGROW	فرانسه	SSD581	34
INRAMONT	فرانسه	TMB51	85	ASGROW	فرانسه	5AS-F1/A2*R2	35
INRAMONT	فرانسه	QHP1	86	ASGROW	فرانسه	8ASB2	36
INRAMONT	فرانسه	D34	87	ASGROW	فرانسه	12ASB3	37
INRAMONT	فرانسه	H603R	88	ASGROW	فرانسه	15031	38
INRAMONT	فرانسه	PES	89	ASGROW	فرانسه	H158A/LC1064C	39
INRAMONT	فرانسه	SDB2	90	ASGROW	فرانسه	H543R/H543R	40
-	فرانسه	H049 C FSB	91	ASGROW	فرانسه	H156A/RHA274	41
-	مجارستان	F1250/03	92	ASGROW	فرانسه	H205A/83HR4	42
-	مجارستان	B454/03	93	ASGROW	فرانسه	H158A/H543R	43
RUSTICA	فرانسه	RT931	94	ASGROW	فرانسه	H209A/83HR4	44
RUSTICA	فرانسه	RT948	95	ASGROW	فرانسه	H157A/LC1064	45
Caussade semences	فرانسه	CSWW2X	96	ASGROW	فرانسه	H156A/H543R	46
Caussade semences	فرانسه	9CSAS	97	ASGROW	فرانسه	H100A/H543R	47
ENSAT	فرانسه	SF082	98	ASGROW	فرانسه	H100A/H543R	48
ENSAT	فرانسه	SF023	99	ENSAT	فرانسه	SF576	49
ENSAT	فرانسه	SF105	100	ENSAT	فرانسه	SF085	50

تگ پلی مراز (شرکت سیناژن، تهران، ایران) و ۱۰ میکرومول از هر آغازگر به همراه آب دیونیزه در دستگاه ترمال سایکلر انجام گرفت. برنامه دمایی واکنش زنجیره‌ای پلیمراز به صورت: ۴ دقیقه واپرسخت‌سازی اولیه در ۹۴ درجه سانتی‌گراد و ۳۶ چرخه شامل ۴۰ ثانیه در ۹۴ درجه سانتی‌گراد (جهت واپرسخت‌سازی)، ۴۰ ثانیه در دمای اتصال اختصاصی مربوط به هر آغازگر (جهت اتصال) و ۲ دقیقه در ۷۲ درجه سانتی‌گراد (جهت بسط) و بسط نهایی در ۷۲ درجه سانتی‌گراد به مدت ۱۰ دقیقه بود. تفکیک محصولات تکثیری با استفاده از ژل آگارز ۱/۸ درصد و بافر TBE ۰/۵x با ولتاژ ۶۵ ولت به مدت ۳ ساعت انجام و رنگ‌آمیزی با اتیدیوم برومايد انجام گرفت. برای تعیین اندازه باندها از نشانگر O'GeneRuler (شرکت فرمنتاز) استفاده شد.

ارزیابی مولکولی
پروفیل مولکولی زوتیپ‌ها با نشانگرهای مبتنی بر رتروترنسپوزون در پژوهشکده زیست فناوری دانشگاه ارومیه تهیه شد. استخراج DNA به روش CTAB از بافت تازه برگی گیاهچه‌های ۱۵ روزه انجام گرفت و کیفیت و کمیت DNA با استفاده از الکتروفوروز ژل آگارز ۱٪ و با استفاده از اسپکتوفوتومتری تعیین شد. از ۲۸ آغازگر مبتنی بر رتروترنسپوزون شامل ۱۴ آغازگر IRAP و ۱۴ آغازگر REMAP استفاده شد (جدول ۲). واکنش‌های PCR در حجم نهایی ۲۰ میکرولیتر، حاوی ۲۰ نانوگرم DNA ژنومی، ۲ میکرولیتر بافر ۰/۷ (500 mM KCl, 500 mM Tris-HCl pH 8.4) ۱۰x PCR میکرولیتر کلرید منیزیم ۵۰ میلی‌مولار (شرکت سیناژن، تهران، ایران)، ۰/۲۵ میلی‌مول از هر ۱/۱ واحد آنزیم (Biofluxbiotech dNTP) جدول ۲- نام و توالی آغازگرهای مورد استفاده در این تحقیق

Table 2- Name and sequence of primers used in the present study

آغازگر رتروترنسپوزون Retrotransposon primer	آغازگر (۳'→۵') Primer sequences (۵'→۳')	توالی آغازگر (۵'→۳') Primer sequences (۵'→۳')	ISSR ISSR primer	آغازگر (۳'→۵') Primer sequences (۵'→۳')	توالی آغازگر (۳'→۵') Primer sequences (۵'→۳')
LTR- 1061	AGAGGGGAATGTGGGGTTCC		UBC-818	CACACACACACACAG	
LTR-1062	TCTCTATTATAGCCGGAGAGGTG		UBC-826	ACACACACACACACAC	
LTR-1063	GATCCGGTTCACGGACTTAC		UBC-840	GAGAGAGAGAGAGAYT	
LTR-1064	CGAAGAACAAACCGAACATCACC		UBC-857	ACACACACACACACYG	
LTR-1065	AGCCTCTGAAAGACTCGTCG	A13		GTGTGTGTGTGTCC	
CF	GGTTTAGGTTCGTAATCCACCGCG		UBC-812	GAGAGAGAGAGAGAGAA	
CR	ACAGACACCACTGGCACCAAC		UBC-864	ATGATGATGATGATGATG	
UF(U81)	TAACGGTGTCTGTTGCAGG		UBC-880	GGAGAGGAGAGGAGA	
UR1(U82)	AGAGGGGAATGTGGGGTTCC	-		-	

نتایج و بحث

آمارهای توصیفی

بنابراین میتوان این نتایج را در مطالعه شامل شاخص‌های حداقل، حدکش، میانگین و ضریب تغییرات در جدول ۳ آرائه شده است. ضریب تغییرات صفات مورد مطالعه بین ۰/۹۴ تا ۰/۲۰ را داشته است. در صد متغیر بود. بیشترین ضریب تغییرات در افت عملکرد تک بوته و افت وزن ۱۰۰ دانه مشاهده شد (جدول ۳). به دلیل این که پارامتر ضریب تغییرات تحت تأثیر واحد اندازه‌گیری صفت و یا دامنه تغییرات آن قرار نمی‌گیرد، نسبت به دیگر معیارهای تنوع از اهمیت بیشتر صفات و اهمیت آن در گزینش ژنتیک‌های برتر، جمعیت لاین‌های مورد مطالعه می‌تواند به عنوان یک منبع اصلاحی خوب در نظر گرفته شود. بر مبنای صفت درصد پیشرفت آلودگی در مراحل مختلف یادداشت‌برداری، چهار لاین (ENSAT-254 و B454/03، ۲۸ IRANI، ۲۹ NSF1-A4×R5) به ترتیب با کمترین درصد پیشرفت آلودگی (۰/۶۷، ۰/۴۶، ۰/۴۶، ۰/۳۶) مقاومت جزئی در برابر قارچ عامل بیماری نشان دادند.

همبستگی‌های فنوتیپی

شناخت روابط بین صفات و برهمکنش آنها حداقل از دو جنبه اهمیت دارد، اول برای اصلاح غیر مستقیم عملکرد و دوم اینکه اصلاح گر درمانی یابد که با اصلاح یک صفت، چه صفات دیگری خود به خود تعییر خواهند نمود. لذا در برنامه‌ریزی برای گزینش توجه به همبستگی صفات از اهمیت اساسی برخوردار است. همبستگی جزئی میزان ارتباط بین دو متغیر تصادفی را در حالی که تأثیر دیگر متغیرها حذف شده‌اند اندازه‌گیری می‌کند. صفات مربوط به درصد پیشرفت آلوودگی همبستگی جزئی مثبت و معنی دار در سطح احتمال ۱٪ با یکدیگر نشان دادند. هر سه صفت درصد پیشرفت بیماری با سایر صفات همبستگی جزئی منفی ولی غیر معنی دار نشان دادند. همبستگی منفی نشان دهنده کاهش عملکرد با افزایش درصد پیشرفت بیماری می‌باشد. بر اساس نتایج تجزیه همبستگی جزئی بیشترین همبستگی مثبت بین عملکرد تک بوته گیاهان آلوود شده با عملکرد تک بوته گیاهان آلوود نشده و همچنین افت عملکرد ۱۰۰ دانه با افت عملکرد تک بوته مشاهده شد.

ارزیابی ساختار ٹنکی

تجزیه مؤثر ساختار جمعیت و دسته‌بندی افراد به زیر جمعیت‌های مناسب با استفاده از ۲۳۱ نشانگر پلی مورف حاصل از ۱۴ آغازگر REMAP و ۱۴ آغازگر IRAP در نرم‌افزار Structure انجام

تجزیه و تحلیل داده‌ها

باندهای حاصل از نشانگرها به صورت یک (وجود باند) و صفر (عدم وجود باند) امتیازدهی و ماتریس حاصل برای بررسی ساختار جمعیت استفاده شد. ساختار جمعیت و دسته‌بندی دقیق ژنوتیپ‌ها به زیرجمعیت‌های مناسب و تهیه ماتریس Q ^۱ با استفاده از روش Bayesian Structure در نرم‌افزار Bayesian Structure نسخه ۲/۳۴ انجام گرفت (Rosenberg *et al.*, 2002). این روش هریک از ژنوتیپ‌ها را طوری به زیرجمعیت‌های فرضی منتب می‌کند که در هر زیرجمعیت میزان عدم تعادل پیوستگی حداقل و تعادل مرحله گامتی حداکثر باشد. مقادیر اولیه K (زیرجمعیت فرضی اولیه) بین ۱ تا ۱۰ در نظر گرفته شد و جهت افزایش دقت برای هر کدام از زیرجمعیت‌ها پنج تکرار منظور گردید برای این منظور از مدل Admixture و استقلال فراوانی آلل‌ها با 100000 مرتبه اجرا در زمان^۲ و 100000 ^۳ MCMC استفاده شد تا منحنی حداکثر درستنمایی حاصل شود. نرم‌افزار Structure برای هر مقدار K (تعداد واقعی زیر جمعیت) یک ماتریس به نام Q را محاسبه می‌کند که این ماتریس شامل برآورد ضرایب احتمال عضویت هر ژنوتیپ در یکی از زیرجمعیت‌ها است. در باریلات حاصل، وقتی درصد عضویت یک ژنوتیپ به آن کلاستر بیشتر یا مساوی $/0$ باشد، ژنوتیپ به آن کلاستر نسبت داده می‌شود، ولی در صورتی که درصد عضویت آن کمتر از این مقدار باشد، به عنوان ژنوتیپ ترکیبی (مخلوط شده) در نظر گرفته می‌شود (Spataro *et al.*, 2011). تعداد واقعی زیر جمعیت توسط لگاریتم Likelihood برای هر $L(K)=\ln P(D)$ تعیین می‌شود (Rosenberg *et al.*, 2002). از K : آن جایی که توزیع $\ln P(D)$ معمولاً عدد دقیق و واضحی از K واقعی را نشان نمی‌دهد، ΔK مبنی بر برآورد ثانویه تغییر در Likelihood چهت برآورد دقیق مقدار واقعی K استفاده می‌شود (Evanno *et al.*, 2005). شناسایی نشانگرهای مرتبط و دارای ارتباط معنی‌دار با صفات موردن ارزیابی بر اساس مدل خطی عمومی^۴ وابسته به ماتریس Q (ماتریس ضرایب ساختار به عنوان کوواریت) و مدل خطی مخلوط^۵ (ماتریس ضرایب ساختار به عنوان کوواریت) و مدل خطی مخلوط^۶ وابسته به ماتریس $K+Q$ (ماتریس ضرایب ساختار جمعیت + ماتریس روابط خویشاوندی) که اثر نشانگر و ساختار جمعیت ثابت ولی اثر خویشاوندی تصادفی در نظر گرفته می‌شود (Bradbury *et al.*, 2007) در نرم‌افزار TASSEL 2.1 انجام گفت.

1-Q matrix

1- Q matrix
2- Burn in time

3- Markov Chain Monte Carlo

4- GLM: General linear model

5- MLM: Mixed linear model

(MLM) علاوه بر ماتریس ساختار جمعیت (ماتریس Q)، ماتریس روابط خویشاوندی (ماتریس K) بین افراد جمعیت نیز در تجزیه ارتباط به عنوان کواریت در نظر گرفته می‌شوند و بنابراین ارتباطات و پیوستگی‌های دروغین بین نشانگر و صفت به حداقل می‌رسد. نشانگرهای پیوسته با ۹ صفت بررسی شده با استفاده از دو مدل ارتباطی در جدول ۵ ارائه شده است. بر اساس مدل GLM ۲۵ نشانگر که ارتباط معنی‌داری ($P < 0.01$) با صفات مورد مطالعه داشتند، شناسایی شدند. تعداد ۵ مکان مرتبط با درصد پیشرفت آلودگی بعد از ۴ روز، ۴ مکان مرتبط با پیشرفت آلودگی بعد از ۸ روز، ۳ مکان مرتبط با وزن صد دانه گیاه آلوده شده، ۳ مکان مرتبط با افت عملکرد وزن صد دانه و ۲ مکان مرتبط با افت عملکرد تک گیاه شناسایی گردید. برای صفات درصد پیشرفت آلودگی بعد از ۱۲ روز تعداد ۹ نشانگر و عملکرد تک بوته گیاه آلوده نشده تعداد ۷ نشانگر در سطح ۵٪ شناسایی شد. مقدار R^2 (درصد تغییرات فنوتیپی توجیه شده) در محدوده ۸/۴ (cr9) تا ۲۴/۱ (cr62655) متغیر بود. نشانگر 64a133 در سطح احتمال ۱٪ برای هر دو صفت عملکرد تک بوته گیاه آلوده شده و افت عملکرد صد دانه به صورت مشترک شناسایی شد. توالی‌یابی نشانگرهای آگاهی بخش با R^2 بالا و مقایسه آنها با توالی‌های موجود در بانک‌های اطلاعاتی کارایی استفاده از آنها در برنامه‌های انتخاب به کمک نشانگر و همسان‌سازی ژن بر اساس نقشه را بالا می‌برد.

گرفت (شکل ۱ و ۲). با توجه به اینکه مقادیر حداکثر ΔK در $K=2$ به دست آمد، بنابراین ژنوتیپ‌های آفتابگردان مورد مطالعه به احتمال قوی دارای ۲ زیرجمعیت می‌باشند (شکل ۱). بر اساس نتایج ارائه شده در بارپلات (شکل ۲، ۱۵ ژنوتیپ ۱۵٪) متعلق به زیر ساختار اول (سبز) و ۵۱ ژنوتیپ (۵۱٪) متعلق به زیر ساختار دوم (قرمز) می‌باشند و ۳۴٪ از لاین‌ها دارای سهم عضویت کمتر از ۷٪ می‌باشند یعنی به ساختار مخلوط تعلق دارند. در مطالعات تجزیه ارتباط در حالت ایده‌آل نباید ساختاری در جمعیت مورد مطالعه وجود داشته باشد، یعنی جمعیت نباید به لحاظ ساختاری به زیر گروه‌های تقسیم شود، زیرا وجود ساختار در جمعیت مورد مطالعه می‌تواند عامل بازدارنده در جهت دستیابی به نتایج قابل اعتماد باشد و در صورتی که اثر عوامل ساختار جمیعت و روابط خویشاوندی در نظر گرفته نشوند، نتایج مثبت کاذب به وجود خواهد آمد (Carson, 1991). استفاده از مدل‌های آماری که اطلاعات مرتبط با ساختار ژنتیکی جمعیت (اطلاعات ماتریس Q) را در نظر می‌گیرند میزان خطأ را کاهش می‌دهد.

مکان‌یابی ارتباطی

چالش اصلی در تجزیه ارتباط متمایز ساختن روابط حقیقی بین نشانگرها و صفات از روابط کاذب ناشی از ساختار جمعیت و روابط خویشاوندی است. در این مطالعه برای شناسایی نشانگرهای مرتبط با صفات در آفتابگردان از تجزیه ارتباط به روش مدل خطی مخلوط (MLM) و مدل خطی عمومی (GLM) استفاده شد. در مدل خطی عمومی (GLM) تنها ساختار جمعیت، ولی در مدل خطی مخلوط

جدول ۳- آماره‌های توصیفی برای صفات ارزیابی شده در لاین‌های آفتابگردان روغنی

Table 3- Simple statistics for studied traits in oily sunflower lines

صفات Traits	میانگین $\pm SE$	حداقل Minimum	حداکثر Maximum	ضریب تغییرات CV%
درصد پیشرفت آلودگی بعد از ۴ روز Percentage of necrotic area after 4 days	65.43±2.15	15.00	100.00	31.81
درصد پیشرفت آلودگی بعد از ۸ روز Percentage of necrotic area after 8 days	74.54±2.03	20.00	100.00	26.47
درصد پیشرفت آلودگی بعد از ۱۲ روز Percentage of necrotic area after 12 days	82.29±1.73	25.00	100.00	20.44
وزن ۱۰۰ دانه آلوده نشده 100 seeds weight of non contaminated plants	5.78±0.20	2.10	10.75	32.98
وزن ۱۰۰ دانه آلوده شده 100 seeds weight of contaminated plants	4.86±0.18	1.55	9.85	35.26
افت وزن ۱۰۰ دانه 100 seeds weight loss	24.95±2.23	1.42	73.71	72.51
عملکرد تک بوته آلوده نشده Yield per plant in non contaminated plants	38.22±2.00	8.30	113.1	49.70
عملکرد تک بوته آلوده شده Yield per plant in contaminated plants	29.54±1.63	2.75	66.14	53.10
افت عملکرد تک بوته Per plant yield loss	29.91±2.83	0.00	89.91	78.48

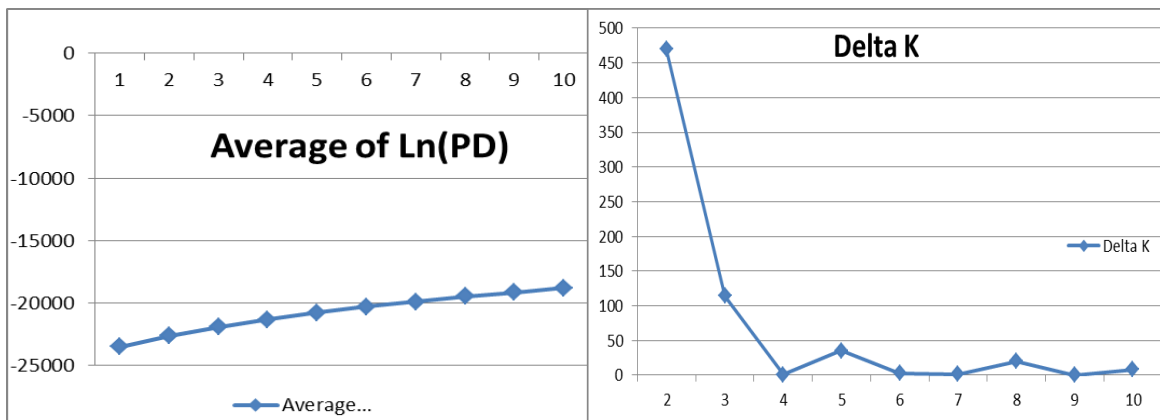
CV: Coefficient of variation

جدول ۴- ضرایب همبستگی جزئی صفات مورد مطالعه در لاین‌های خالص آفتابگردان

Table 4- Partial correlation coefficients among studied traits in oily sunflower lines

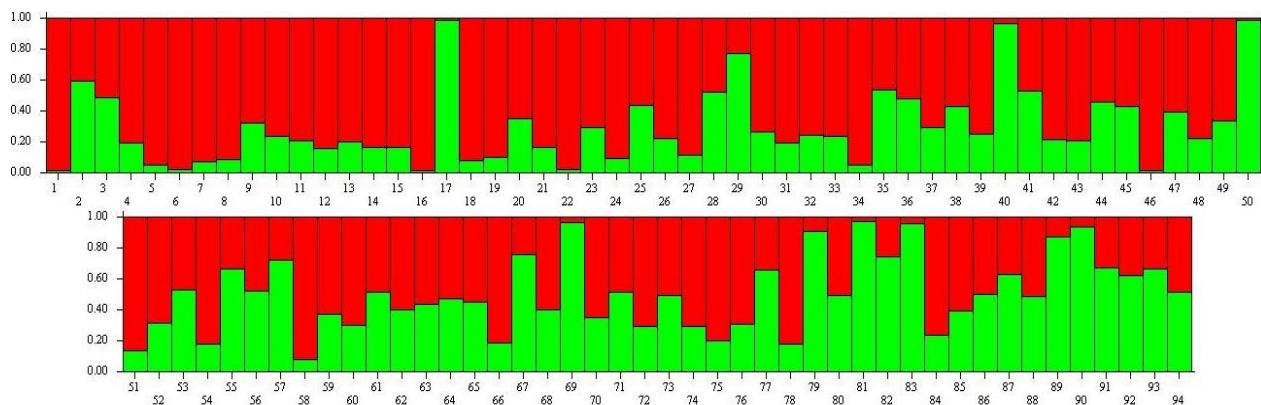
	درصد پیشرفت آلدگی بعد از ۸ روز Percentage of necrotic area after 4 days	درصد پیشرفت آلدگی بعد از ۸ روز Percentage of necrotic area after 8 days	درصد پیشرفت آلدگی بعد از ۱۲ روز Percentage of necrotic area after 12 days	وزن ۱۰۰ دانه ۱۰۰ seeds weight of non contaminated plants	وزن ۱۰۰ دانه ۱۰۰ seeds weight of contaminated plants	عملکرد تک بوته آلد شده Yield per plant in non contaminated plants	عملکرد تک بوته آلد شده Yield per plant in contaminated plants	افت عملکرد ۱۰۰ دانه 100 seeds weight loss
درصد پیشرفت آلدگی بعد از ۸ روز Percentage of necrotic area after 8 days		0.86**	-	-	-	-	-	-
درصد پیشرفت آلدگی بعد از ۱۲ روز Percentage of necrotic area after 12 days	0.76**		0.81**	-	-	-	-	-
وزن ۱۰۰ دانه ۱۰۰ seeds weight of non contaminated plants	-0.02 ^{n.s}	-0.00 ^{n.s}	0.05 ^{n.s}	-	-	-	-	-
وزن ۱۰۰ دانه ۱۰۰ seeds weight of contaminated plants	0.00 ^{n.s}	0.01 ^{n.s}	0.04 ^{n.s}	0.67**	-	-	-	-
عملکرد تک بوته آلد شده Yield per plant in non contaminated plants	-0.02 ^{n.s}	0.06 ^{n.s}	0.10 ^{n.s}	0.61**	0.43**	-	-	-
عملکرد تک بوته آلد شده Yield per plant in contaminated plants	0.04 ^{n.s}	0.05 ^{n.s}	0.10 ^{n.s}	0.43 ^{n.s}	0.65**	0.72**	-	-
افت عملکرد ۱۰۰ دانه 100 seeds weight loss	-0.03 ^{n.s}	0.00 ^{n.s}	0.02 ^{n.s}	0.22 ^{n.s}	-0.54 ^{n.s}	0.09 ^{n.s}	-0.36**	-
افت عملکرد تک بوته Per plant yield loss	-0.02 ^{n.s}	0.01 ^{n.s}	0.00 ^{n.s}	0.14 ^{n.s}	-0.40**	0.17 ^{n.s}	-0.50**	0.68**

* و ** اختلاف معنی‌دار بهتریب در سطوح احتمال ۵٪ و ۱٪. n.s اختلاف غیر معنی‌دار در سطح ۵٪.



شکل ۱- نمودارهای دوطرفه برای تعیین تعداد زیرجمعیت‌ها در ژرمپلاسم آفتاگردان روغنی مورد مطالعه ($K=2$) بر اساس نشانگرهای مبتنی بر رتوترنسپوزون در نرم‌افزار Structure

Figure 1- Bilateral graphs for determining optimum subpopulations in studied oily sunflower germplasm ($K=2$) based on retrotransposon markers in Structure software



شکل ۲- تجزیه کالاستر مبتنی بر مدل Bayesian ۱۰۰ لاین آفتاگردان روغنی مورد مطالعه بر اساس مکان‌های زنی حاصل از دو نشانگر IRAP و REMAP. هر رنگ یک زیرجمعیت را نشان می‌دهد. اعداد روی محور افقی و عمودی به ترتیب شماره افراد و ضریب تعلق هر فرد به کالاستر یا زیرجمعیت را نشان می‌دهد

Figure 2- Bayesian model based-cluster analysis of 100 oily sunflower lines by using IRAP and REMAP markers data. Numbers on the y-axis indicate the membership coefficient (Q) and on the x-axis indicate the individual's number.

شناسایی نشانگرهای مشترک برای برخی صفات بررسی شده در مطالعه حاضر می‌تواند ناشی از اثرات پلیوتوبی و یا پیوستگی نواحی ژنومی دخیل در کنترل این صفات باشد (Jun *et al.*, 2008). شناسایی نشانگرهای مشترک اهمیت زیادی در بهترزایی گیاهان دارد، زیرا گزینش هم‌زمان چند صفت را امکان‌پذیر می‌سازد (Tuberosa *et al.*, 2002).

در بسیاری از مناطق رشد آفتاگردان در دنیا، اسکلروتینیا (*Sclerotinia sclerotiorum*) یکی از بیماری‌های مهم آفتاگردان می‌باشد. در مطالعه‌ای مکان‌های کمی (QTL) مقاومت به بیماری پوسیدگی طبق در دو ژرمپلاسم آفتاگردان آمریکایی شناسایی شد. هر کدام از ۵ QTL شناسایی شده در حدود ۱۲/۹٪ از تغییرات فنتیپی را توجیه می‌نمودند. بر اساس اظهار محققین این QTL ها می‌توانند

در تجزیه ارتباط بر اساس مدل MLM در سطح احتمال ($P<0.01$) در مجموع ۲۷ مکان زنی مرتبط با ۹ صفت مورد مطالعه شناسایی شدند (جدول ۵). از کل مکان‌های مرتبط با صفات مورد ارزیابی به ترتیب ۵ و ۴ مکان ارتباط معنی‌داری با صفات درصد پیشرفت سطح آلودگی بعد از ۴ و ۸ روز، ۲ و ۴ مکان زنی مرتبط با صفات وزن صد دانه گیاه آلوده نشده و شده، ۲ و ۵ مکان مرتبط با صفات عملکرد تک بوته گیاه آلوده نشده و شده و ۲ و ۳ مکان مرتبط با صفات افت عملکرد صد دانه و تک بوته شناسایی گردید. در مدل MLM نیز برای صفت درصد پیشرفت آلودگی بعد از ۱۲ روز تعداد ۹ نشانگر در سطح ($P<0.05$) شناسایی گردید. در مدل MLM نشانگر 618403 به طور مشترک برای هر دو صفت درصد پیشرفت بیماری بعد از ۸ روز و افت وزن صد دانه در سطح احتمال ۱٪ شناسایی شد.

CM265 لاین اینبرد مقاوم از خزانه ژنی NDBLOS و لاین حساس به بیماری پوسیدگی ساقه ارزیابی شد.

در برنامه اصلاح آفتابگردان مفید باشد (Yue *et al.*, 2008). در یک مطالعه دیگر، حساسیت ۳۵۱ خانواده F₃ حاصل از تلاقی بین یک

جدول ۵- نشانگرهای رتروترنسپوزون پیوسته با صفات ارزیابی شده در لاین‌های آفتابگردان روغنی مورد مطالعه بر اساس مدل‌های GLM و

MLM

Table 5- Identification of retrotransposon markers associated with studied traits in oily sunflower lines by using general and mixed linear models

Trait	صفت Trait	نشانگر Retrotransposon marker		مدل GLM		نشانگر Retrotransposon marker		مدل MLM		نشانگر Retrotransposon marker		مدل GLM		نشانگر Retrotransposon marker		مدل MLM	
		در سطح ۱٪		در سطح ۰.۵٪		در سطح ۱٪		در سطح ۰.۵٪		در سطح ۱٪		در سطح ۰.۵٪		در سطح ۱٪		در سطح ۰.۵٪	
		P-Value	R ²	P-Value	R ²	P-Value	R ²	P-Value	R ²	P-Value	R ²	P-Value	R ²	P-Value	R ²	P-Value	R ²
درصد Percentage of necrotic area after 4 days	درصد Percentage of necrotic area after 4 days	62655 CR5	0.000 0.001	0.241 0.154	62655 CR5	22.45 13.97	0.000 0.000	عملکرد تک Yield per plant in non contaminated plants	648185 618187	0.017 0.019	0.125 0.136	648185 618187	7.88 7.22	0.006 0.009	CF8261	0.034	0.103
پیشرفت آلوگی بعد از ۴ روز	آلوگی بعد از ۴ روز	648403 UFUR15	0.001 0.004	0.154 0.133	648403 618402	11.92 9.36	0.001 0.003	بوته آلوه نشده Yield per plant in non contaminated plants	61658 CR9	0.024 0.023	0.119 0.112	CRUR11	0.050	0.106	651	0.005	0.111
درصد Percentage of necrotic area after 8 days	درصد Percentage of necrotic area after 8 days	618402 CFCR6	0.008 0.008	0.122 0.131	UR18402 CFCR6	8.68 7.28	0.004 0.009	وزن صد دانه 100 seeds weight of non contaminated plants	655 CR9	0.024 0.010	0.112 0.084	651 CR9	9.17 7.05	0.003 0.009	CF8261	0.010	0.094
درصد Percentage of necrotic area after 12 days	درصد Percentage of necrotic area after 12 days	UR16 618401 651	0.016 0.017 0.019	0.071 0.066 0.082	651 UR16 618401	6.41 6.29 5.96	0.0133 0.014 0.017	وزن صد دانه آلوه شده 100 seeds weight of contaminated plants	648184 648402 64A131	0.004 0.008 0.008	0.115 0.112 0.103	64A131 64A131 64A131	9.71 9.28 9.68	0.003 0.003 0.007	CF8261	0.008	0.103
افت عملکرد Tک بوته Per plant yield loss	افت عملکرد Tک بوته Per plant yield loss	648408 618575 627 CF8261 648404	0.024 0.026 0.027 0.029 0.041	0.060 0.060 0.089 0.066 0.049	648408 618575 UFUR111 648404 658183	5.38 5.27 5.21 4.43 4.21	0.023 0.024 0.026 0.038 0.043	عملکرد تک بوته آلوه شده Yield per plant in contaminated plants	UR18403 64A1311 64A133 CF8182	0.001 0.002 0.003 0.004	0.169 0.152 0.141 0.162	UR18403 64A1311 64A133 618571	11.89 10.98 9.54 8.50	0.001 0.002 0.003 0.005	CF8261	7.14	0.009
		648574 63644	0.007 0.007	0.106 0.096	63644 CF3 CRUR14	9.56 8.23 7.21	0.003 0.005 0.009	افت وزن صد دانه 100 seeds weight loss	618571 618189 64A133 618403	0.005 0.007 0.009 0.010	0.126 0.121 0.112 0.111	CF8182 618189 618403 618403	8.19 8.63 7.39 7.68	0.006 0.005 0.008 0.007			

که ارتباط معنی‌داری بین ژن کاندید *HaRIC-B* و قوع پوسیدگی طبق توسط پاتوژن قارچی در سطح ۱٪ وجود دارد (Fusari et al., 2012). در مطالعه‌ای تنوع ژنتیکی ۱۵ ژنتوتیپ آفتابگردان از کشورهای مختلف دنیا با استفاده از ۳۸ نشانگر SSR با هدف شناسایی نشانگرهای مرتبط با مکان‌های ژنی در گیر در مقاومت به پوسیدگی ساقه در برابر ۷ جدایه بیمارگ قارچی *S. sclerotiorum* ارزیابی شد. در این مطالعه ۵ نشانگر اختصاصی برای مقاومت جزئی در برابر جدایه‌ها شناسایی شد که دو تا از نشانگرهای بین بعضی از جدایه‌ها مشترک بودند. نشانگر ORS1256 برای دو جدایه SSU35 و SSU55 و نشانگر ORS49 برای دو جدایه SSU53 و SSU87 به طور مشترک شناسایی شدند (Darvishzadeh, 2012). در یک تحقیق مکان‌های ژنی دخیل در مقاومت به پوسیدگی ساقه در آفتابگردان با استفاده از ۲۶۰ ژنتوتیپ و هفت ژن کاندید شناسایی شد. در این مطالعه ۲ ژن به صورت معنی‌دار ($P < 0.01$) در حدود ۷/۴٪ از تغییرات فوتیبی را در جمعیت توجیه می‌نمودند (Talukder et al., 2014). فوزاری و همکاران (Fusari et al., 2012) با استفاده از مدل خطی یک ژن کاندید برای مقاومت به بیماری اسکلروتینیا در آفتابگردان شناسایی کردند که ۲۰ درصد از تغییرات فوتیبی را توجیه می‌نمود.

اصلاح مقاومت آفتابگردان در مقابل *S. sclerotiorum* به دلیل توارث پیچیده این صفت مشکل می‌باشد ولی منابع مقاومت و نشانگرهای شناسایی شده در این مطالعه در جهت بهبود و تولید ژنتوتیپ‌های مقاوم امید بخش می‌باشند. بر پایه نتایج این تحقیق چهار لاین (NSF1-A4×R5, ENSAT-254, B454/03, A4×R5) و ایرانی با کد ۲۸ با سطح مقاومت و منشاء ژنتیکی مختلف می‌توانند به عنوان والدین هیبرید (مقاآم) مورد استفاده قرار گیرند. در صورت اجرای آزمایش‌های تکمیلی از جمله اجرای آزمایش در چند محیط و برآورده تغییرات ناشی از آثار متقابل ژنتوتیپ در محیط و همچنین تأیید نشانگرهای شناسایی شده، از نشانگرهای شناسایی شده می‌توان در برنامه‌های اصلاحی از جمله انتخاب به کمک نشانگر بهره برداشت. می‌توان با توالی‌بایی مکان‌هایی که تغییرات قابل توجهی از صفات را توجیه می‌نمایند، ژن‌های کدکننده مقاومت به بیماری و صفات مهم زراعی را شناسایی نمود.

نتیجه‌گیری

این پژوهش با استفاده از مجموعه متنوعی از لاین‌های آفتابگردان روغنی و آغازگرهای رتوترنسپوزون به منظور شناسایی نشانگرهای مرتبط با مقاومت به بیماری انجام گرفت. با استفاده از مدل خطی مخلوط (MLM) در مجموع ۲۷ مکان مرتبط با ۹ صفت

در این مطالعه، ارزیابی در شرایط آلودگی مصنوعی در مزرعه طی دو فصل زراعی انجام گرفت. برای ۳ صفت مرتبط با مقاومت (پوسیدگی برگ، پوسیدگی ساقه و سرعت رشد قارچ) و دو صفت مورفولوژیک واریانس ژنتوتیبی بسیار معنی‌دار بود و همبستگی بالایی بین صفات مشاهده شد. QTL‌هایی برای هر سه صفت مقاومت شناسایی شد اما هر کدام از QTL‌ها دارای اثرات کوچکی بودند (Micic et al., 2004). در مطالعه دیگر ژنتوتیک مقاومت به پوسیدگی ساقه ناشی از *S. sclerotiorum* در جمعیت حاصل از تلاقی بین دو لاین مقاوم (NDBLOS_{sel}×K04) بررسی شد. نتایج نشان داد که مقاومت به اسکلروتینیا کمی و مناطق ژنومی مختلفی در این فرآیند دخیل می‌باشد و دو مکان کمی برای مقاومت به پوسیدگی ساقه شناسایی شد که یکی از آنها QTL بزرگ اثر بود (Wurschum et al., 2014).

پیوستگی ژنتیکی بین نشانگرهای و مکان‌های ژنی صفات کمی، محتمل‌ترین توجیه برای وجود رابطه بین نشانگرهای مولکولی و نمود صفات کمی است و استفاده از پیوستگی بین نشانگرهای مولکولی و ژن‌های کنترل‌کننده صفات کمی، فرآیند اصلاح نباتات را تسريع کرده است به طوری که به جای ارزیابی صفات، گزینش غیرمستقیم به کمک نشانگرهای پیوسته صورت می‌گیرد. نقشه‌بایی ارتباطی نقش کلیدی در شناسایی عوامل مؤثر در تغییرات کمی بازی می‌کند. اساس طراحی و انجام روش‌های تجزیه ارتباط نیاز به درک و فهم ساختار LD در یک گونه گیاهی است (Flint-Garcia et al., 2003). تجزیه ژنتوتیک صفات کمی از طریق نقشه‌بایی ارتباطی در گیاهان زراعی مختلف (*Arabidopsis*) مانند جو (Inostroza et al., 2008)، آرایدوبیسین (Sukumaran et al., 2012) (Aranzana et al., 2005)، سورگوم (Liue et al., 2010) و گندم (Roy et al., 2006) انجام شده است. در تحقیقی تجزیه ارتباط بین ۱۱ صفت زراعی در گندم و ۵۱۹ نشانگر شامل ۲۲۱ نشانگر SSR، ۴۳ نشانگر SAMPL و ۲۲۵ نشانگر AFLP بررسی شد. در نشانگرهای SSR بیشترین میزان ضریب تبیین مربوط به صفت شاخص برداشت با ۲۸٪ و در نشانگر SAMPL بیشترین میزان ضریب تبیین مربوط به صفت شاخص برداشت با ۲۰٪ در نشانگرهای AFLP بیشترین میزان ضریب تبیین مربوط به صفت شاخص برداشت با ۲۹٪ بود (Roy et al., 2006).

در تحقیقی واکنش ۹۴ لاین اینبرد آفتابگردان تحت شرایط مزرعه‌ای به صورت متنوعی در مقابل قارچ *Sclerotinia scleritiorum* مورد بررسی قرار گرفت. در این مطالعه ۴۳ ژن کاندید بر اساس مطالعات پروفایل رونوشت در آفتابگردان و کلزا آلوده شده با قارچ *S. sclerotiorum* انتخاب شدند. بررسی ارتباط بین ژنتوتیپ پوسیدگی طبق توسط پاتوژن قارچی و چند شکلی هاپلوتاپ در ژن‌های کاندید با استفاده از مدل خطی مخلوط (MLM) نشان داد

برنامه‌های بهترادی به منظور شناسایی والدین مناسب برای تهیه جمعیت‌های نقشه‌یابی، تهیه ارقام هیرید و نیز گزینش به کمک نشانگر MAS^۱ استفاده نمود.

مورد مطالعه شناسایی شدند. مکان‌های ژنی مرتبط با صفات زراعی و مقاومت به بیماری را می‌توان از طریق تلاقي‌های کلاسیک به زمینه ژنتیکی سایر ژنوتیپ‌ها انتقال داد. با تبدیل نشانگرهای شناسایی شده در تحقیق حاضر به نشانگرهای SCAR می‌توان از آن‌ها در

References

- Abdi, N., Darvishzadeh, R., Jafari, M., Pirzad, A., and Haddadi, P. 2012. Genetic analysis and QTL mapping of agro-morphological traits in sunflower (*Helianthus annuus* L.) under two contrasting water treatment conditions. *Plant Omics* 5 (2): 149-158.
- Allinne, C., Maury, P., Sarrafi, A., and Grieu, P. 2009. Genetic control of physiological traits associated to low temperature growth in sunflower under early sowing conditions. *Plant Science* 177: 349-359.
- Anandhan, T., Manivannan, N., Vindhiyaman, P., and Jeykaumar, P. 2010. Single marker analysis in sunflower (*Helianthus annuus* L.). *Electronic Journal of Plant Breeding* 1 (4): 1227-1234.
- Andaya, V. C., Tabanao, D., Maramara, G., and Sebastian, L. S. 1996. Correlation of molecular diversity with heterosis in nine lowland rice. *Philippine Journal of Crop Science* 21: 4.
- Aranzana, M. J., Kim, S., Zhao, K., Bakker, E., Horton, M., Jakob, K., Lister, C., Molitor, J., Shindo, C., Tang, C., Toomajian, C., Traw, B., Zheng, H., Bergelson, J., Dean, C., Marjoram, P., and Nordborg, M. 2005. Genome-wide association mapping in *Arabidopsis* identifies previously known flowering time and pathogen resistance genes. *PLoS Genet* 1(5): e60.
- Bolton, M. D., Thomma, B. P. H. J., and Nelson, B. D. 2006. *Sclerotinia sclerotiorum* (Lib.) de Bary: biology and molecular traits of a cosmopolitan pathogen. *Molecular Plant Pathology* 7: 1-166.
- Bradbury, P. J., Zhang, Z., Kroon, D. E., Casstevens, T. M., Randoss, Y., and Buckler, E. S. 2007. TASSEL: software for association mapping of complex traits in diverse samples. *Bioinformatics* 23: 2633-2635.
- Bresegheello, F., and Sorrells, M. E. 2006. Association mapping of kernel size and milling quality in wheat (*Triticum aestivum* L.) cultivars. *Genetics* 172: 1165-1177.
- Campbell, M. A., Fitzgerald, H. A., and Ronald, P. C. 2002. Engineering pathogen resistance in crop plants. *Transgenic Research* 11: 599-613.
- Carson, M. L. 1991. Relationship between phoma black stem severity and yield losses in hybrid sunflower. *Plant Disease* 75: 1150-1153.
- Darvishzadeh, R. 2012. Association of SSR markers with partial resistance to *Sclerotinia sclerotiorum* isolates to sunflower. *Australian Journal of Crop Science* 6 (2): 276-282.
- Ebrahimi, A., and Sarrafi, A. 2012. Genetic Variability and identification of markers in gamma-irradiation induced mutants of sunflower under water stress condition. *Iranian Journal of Genetics and Plant Breeding* 1 (2): 1-8.
- Evanno, G., Regnaut, E., and Goudet, J. 2005. Detecting the number of clusters of individuals using the software STRUCTURE: a simulation study. *Molecular Ecology* 14: 2611-2620.
- Eyyaznejad, N., and Darvishzadeh, R. 2014. Identification of QTLs for grain yield and some agro-morphological traits in sunflower (*Helianthus annuus* L.) using SSR and SNP markers. *Journal of Plant Molecular Breeding* 2 (2): 68-87
- Flint-Garcia, S. A., Thornsberry, J. M., and Buckler, E. S. 2003. Structure of linkage disequilibrium in plants. *Annual Review of Plant Biology* 54: 357-374.
- Fusari C. M., Rienzo J. A. D., Troglia C., Nishinakamasu V., Moreno M. V., Maringolo C., Quiroz F., Álvarez D., Escande A., Hopp E., Heinz R., Lia V. V., and Paniego N. B. 2012. Association mapping in sunflower for sclerotinia head rot resistance. *BMC Plant Biology* 12 (93): 1-13.
- Gulya, T. J., Rashid, K. Y., and Masirevic, S. N. 1997. Sunflower diseases. In *Sunflower technology and production*, Madison, Wisconsin, USA, p. 263-379.
- Hahn, V. 2002. Genetic variation for resistance to *Sclerotinia* head rot in sunflower inbred lines. *Field Crops Research* 77: 153-159.
- Inostroza, L., Pozo, A. D., Matus, I., Castillo, D., Hayes, P., Machado, S., and Corey, A. 2009. Association mapping of plant height, yield, and yield stability in recombinant chromosome substitution lines (RCSLs) using *Hordeum vulgare* subsp. *spontaneum* as a source of donor alleles in a *Hordeum vulgare* subsp. *Vulgare* background. *Molecular Breeding* 23: 365-376.
- Jun, T. H., Van, K., Kim, M. Y., Lee, S. H., and Walker, D. R. 2008. Association analysis using SSR markers to find QTL for seed protein content in soybean. *Euphytica* 62: 179-191.
- Liue, L., Wang, L., Yao, J., Zheng, Y., and Zhao, C. 2010. Association mapping of six agronomic traits on

- chromosome 4A of wheat (*Triticum aestivum* L.). *Molecular Plant Breeding* 1 (5): 1-10.
22. Mandel, J. R., Nambeesan, S., Bowers, J. E., Marek, L. F., Ebert, D., Rieseberg, L. H., Knapp, J. M., and Burk, J. M. 2013. Association mapping and the genomic consequence of selection in sunflower. *Genetics* 9 (3): 1-13.
 23. Masirevic, S., and Gulya, T. J. 1992. Sclerotinia and phomopsis-two devastating sunflower pathogens. *Field Crops Research* 30: 271-300.
 24. Micic, Z., Hahn, V., Bauer, E., Schon, C. C., Knapp, S. J., Tang, S., and Melchinger, A. E. 2004. QTL mapping of Sclerotinia midstalk rot resistance in sunflower. *Theoretical and Applied Genetics* 109: 1474-1484.
 25. Myles, S., Peiffer, J., Brown, P. J., Ersoz, E. S., Zhang, Z., Costich, D. E., and Buckler, E. S. 2009. Association mapping: critical considerations shift from genotyping to experimental design. *Plant Cell* 21: 2194-2202.
 26. Onemli, F., and Gucer, T. 2010. Response to drought of some wild species of *Helianthus* at seedling growth stage. *Helia* 33 (53): 45-54.
 27. Pritchard, J. K., Stephens, M., and Donnelly, P. 2000. Inference of population structure using multilocus genotype data. *Genetics* 155: 945-959.
 28. Purdy, L. H. 1979. *Sclerotinia sclerotiorum*: History, diseases and symptomatology, host range, geographic distribution and impact. *Phytopathology* 69: 875-880.
 29. Rafalski, J. A. 2002a. Applications of single nucleotide polymorphisms in crop genetics. *Current Opinion in Plant Biology* 5: 94-100.
 30. Rafalski, J. A. 2002b. Novel genetic mapping tools in plants: SNPs and LD-based approaches. *Plant Science* 162: 329-333.
 31. Rönicke, S., Hahn, V., and Friedt, W. 2005. Resistance to *Sclerotinia sclerotiorum* of 'high oleic' sunflower inbred lines. *Plant Breeding* 124: 376-381.
 32. Rosenberg, N. A., Pritchard, J. K., Weber, J. L., Cann, H. M., Kidd, K. K., Zhivotovsky, L. A., and Feldman, M. W. 2002. Genetic structure of human populations. *Science* 298: 2381-2385.
 33. Roy, J. K., Bandopadhyay, R., Rustgi, S., Balyan, H. S., and Gupta, P. K. 2006. Association analysis of agronomically important traits using SSR, SAMPL and AFLP markers in bread wheat. *Current Science* 90: 5-10.
 34. Spataro, G., Tiranti, B., Arcaleni, P., Bellucci, E., Attene, G., Papa, R., Spagnoletti Zeuli, P., and Negri, V. 2011. Genetic diversity and structure of a worldwide collection of *Phaseolus coccineus* L. *Theoretical and Applied Genetics* 122: 1281-1291.
 35. Speed, D., Hemani, G., Johnson, M. R., and Balding, D. J. 2012. Improved heritability estimation from genome-wide SNPs. *American Journal of Human Genetics* 91: 1011-1021.
 36. Sukumaran, S., Xiang, W., Bean, S. R., Pedersen, J. F., Kresovich, S., Tuinstra, M. R., Tesso, T. T., Hamblin, M. T., and Yu, J. 2012. Association mapping for grain quality in a diverse sorghum collection. *The Plant Genome* 5: 126-135.
 37. Talukder, I. Z., Hulke, S. B., Qi, L., Scheffler, E. B., Pegadaraju, V., McPhee, K., and Gulya, J. T. 2014. Candidate gene association mapping of Sclerotinia stalk rot resistance in sunflower (*Helianthus annuus* L.) uncovers the importance of COI1 homologs. *Theoretical and Applied Genetics* 127: 193-209.
 38. Thornsberry, J. M., Goodman, M. M., Doebley, J., Kresovich, S., and Nielsen, D. 2001. Dwarf8 polymorphisms associate with variation in flowering time. *Nature Genetics* 28: 286-89.
 39. Tuberosa, R., Salvi, S., Sanguineti, M. C., Landi, P., Maccaferri, M., and Conti, S. 2002. Mapping QTLs regulating morpho-physiological traits and yield in drought-stressed maize: case studies, shortcomings and perspectives. *Annals of Botany* 89: 941-963.
 40. Wang, W. Y. S., Barratt, B. J., Clayton, D. G., and Todd, J. A. 2005. Genome-wide association studies: theoretical and practical concerns. *Nature Reviews Genetics* 6: 109-118.
 41. Würschum, T., Anyanga, W. O., and Hahn, V. 2014. Inheritance of *Sclerotinia* Midstalk Rot Resistance in Elite Sunflower Breeding Germplasm. *Helia* 37 (61): 193-203.
 42. Yue, B., Radi, S. A., Vick, B. A., Cai, X., Tang, S., Knapp, S. J., Gulya T. J., Miller J. F., and Hu, J. 2008. Identifying quantitative trait loci for resistance to Sclerotinia head rot in two USDA sunflower germplasms. *Phytopathology* 98: 926-931.
 43. Zhu, C., Gore, M., Buckler, E. S., and Yu, J. 2008. Status and prospects of association mapping in plants. *Plant Genome* 1: 5-20.



Evaluation of Retrotransposon-based Markers for Identification of Genetic Loci Associated with Agro-morphological Characteristics and Resistance to Sclerotinia Basal Stem rotin Oily Sunflower (*Helianthus annuus*L.) under Filed Conditions

R. Paknia¹ - F. Shahriari^{2*} - R. Darvishzadeh³ - S. Malekzadeh⁴

Received: 03-09-2016

Accepted: 01-03-2017

Introduction

Sunflower (*Helianthus annuus* L.) is one of the most important crops grown mainly for edible oil. *Sclerotinia sclerotiorum* (Lib.) de Bary is a common and widespread pathogen of sunflower. Sclerotinia stem rot is one of the most damaging diseases of sunflower in world, causing average yield reductions of 10 to 20%. It causes total production loss under favorable environmental conditions. Hence, plant improvement projects must focus on creating of new genotypes with higher resistance against diseases. Resistance to *S. sclerotiorum* (Lib.) de Bary has been described as quantitatively inherited with additive and dominant gene effects. Identification of chromosome regions controlling partial resistance to sclerotinia stem rot can increase understanding about the genetic control of the diseases and developing cultivars with improved partial resistance. In this study, retrotranposon-based molecular markers associated with resistance to disease as well as some important agromorphological traits identified using general and mixed linear models in Tassel software.

Material and Method

A collection of 100 sunflower lines, kindly provided by several research centers in Europe, Iran and the United States, were evaluated using a 10×10 simple lattice design with two replications. Each plot comprised 2 lines 5 m long, with a spacing of 65 × 25 cm between lines and plants, respectively. The experiment was conducted in 2015 at a farm in 'Vaghaslo-e-Sofla' village on Urmia. Five plants per genotype in each replication were inoculated with a fungal isolate collected from naturally infected sunflower plants of this farm in previous year. Some resistant and agronomical traits including percentage of necrotic area after 4, 8, 12 days inoculation, 100 seeds weight of non contaminated plants, 100 seeds weight of contaminated plants, yield per plant in non contaminated plants, yield per plant in contaminated plants, 100 seeds weight loss, and per plant yield loss were measured. The genetic profile of population was prepared with 28 rerotranspon markers.

Result and Discussion

Based on molecular marker data, the studied association panel was subdivided into two subpopulations (K=2). Association analysis using mixed linear model (MLM) identified 27 loci significantly ($P<0.01$) associated with studied traits. Maximum number of markers (5) was identified for percentage of necrotic area after 4 days and yield per plant in contaminated plants. Some common markers were identified for studied traits. Common markers for traits can be due to pleiotropic effects or linkage between genomic regions involved in controlling traits. Results of the current study present useful information about the genetic basis of the studied traits and can be used in different sunflower breeding programs including marker aided selection. In future studies, coding regions of important agronomical and resistance traits could be identified by sequencing loci with highest R^2 .

1- PhD in Agricultural Biotechnology, Department of Plant Biotechnology, Faculty of Agriculture, Ferdowsi University of Mashhad

2- Professor, Department of Plant Biotechnology, Ferdowsi University of Mashhad

3- Professor, Department of Plant Breeding and Biotechnology, Faculty of Agriculture, Urmia University

4- Associate Professor, Department of Plant Biotechnology, Ferdowsi University of Mashhad

(*- Corresponding Author Email: fshahria@yahoo.com.au)

Conclusions

In sum, 27 loci associated with genomic regions controlling studied agro-morphological and resistant traits were identified. By converting identified retrotranspos-based molecular markers to SCAR, it is possible to use them directly in breeding activities such as identification of appropriate parents for developing mapping population, developing hybrid cultivars as well as marker assisted selection programs.

Keywords: Association mapping, Linkage disequilibrium, Molecular marker, Population structure, Sunflower